

Starkniederschlagshöhen und -spenden gemäß KOSTRA-DWD-2020

Rasterfeld 131105

(Zeile 131, Spalte 105)

Regenspende und Bemessungsniederschlagswerte in Abhängigkeit von Wiederkehrzeit T und Dauerstufe D

| Dauerstufe D | | Wiederkehrzeit T | | | | | | | | | | | | | | | | | |
|--------------|-----|------------------|------------|------|------------|------|------------|-------|------------|-------|------------|-------|------------|-------|------------|-------|------------|-------|------------|
| | | 1 a | | 2 a | | 3 a | | 5 a | | 10 a | | 20 a | | 30 a | | 50 a | | 100 a | |
| min | Std | mm | l / (s ha) | mm | l / (s ha) | mm | l / (s ha) | mm | l / (s ha) | mm | l / (s ha) | mm | l / (s ha) | mm | l / (s ha) | mm | l / (s ha) | mm | l / (s ha) |
| 5 | | 6,7 | 223,3 | 8,1 | 270,0 | 9,0 | 300,0 | 10,1 | 336,7 | 11,8 | 393,3 | 13,5 | 450,0 | 14,6 | 486,7 | 16,1 | 536,7 | 18,2 | 606,7 |
| 10 | | 8,5 | 141,7 | 10,2 | 170,0 | 11,3 | 188,3 | 12,8 | 213,3 | 14,9 | 248,3 | 17,0 | 283,3 | 18,4 | 306,7 | 20,3 | 338,3 | 22,9 | 381,7 |
| 15 | | 9,6 | 106,7 | 11,7 | 130,0 | 12,9 | 143,3 | 14,6 | 162,2 | 16,9 | 187,8 | 19,4 | 215,6 | 21,0 | 233,3 | 23,1 | 256,7 | 26,1 | 290,0 |
| 20 | | 10,5 | 87,5 | 12,7 | 105,8 | 14,1 | 117,5 | 15,9 | 132,5 | 18,5 | 154,2 | 21,2 | 176,7 | 22,9 | 190,8 | 25,2 | 210,0 | 28,5 | 237,5 |
| 30 | | 11,9 | 66,1 | 14,4 | 80,0 | 16,0 | 88,9 | 18,0 | 100,0 | 21,0 | 116,7 | 24,0 | 133,3 | 26,0 | 144,4 | 28,6 | 158,9 | 32,3 | 179,4 |
| 45 | | 13,5 | 50,0 | 16,3 | 60,4 | 18,1 | 67,0 | 20,4 | 75,6 | 23,7 | 87,8 | 27,1 | 100,4 | 29,4 | 108,9 | 32,3 | 119,6 | 36,5 | 135,2 |
| 60 | 1 | 14,7 | 40,8 | 17,8 | 49,4 | 19,7 | 54,7 | 22,2 | 61,7 | 25,8 | 71,7 | 29,5 | 81,9 | 32,0 | 88,9 | 35,2 | 97,8 | 39,8 | 110,6 |
| 90 | 1,5 | 16,6 | 30,7 | 20,0 | 37,0 | 22,2 | 41,1 | 25,0 | 46,3 | 29,1 | 53,9 | 33,3 | 61,7 | 36,1 | 66,9 | 39,7 | 73,5 | 44,9 | 83,1 |
| 120 | 2 | 18,0 | 25,0 | 21,8 | 30,3 | 24,2 | 33,6 | 27,3 | 37,9 | 31,7 | 44,0 | 36,3 | 50,4 | 39,3 | 54,6 | 43,2 | 60,0 | 48,9 | 67,9 |
| 180 | 3 | 20,3 | 18,8 | 24,6 | 22,8 | 27,2 | 25,2 | 30,7 | 28,4 | 35,7 | 33,1 | 40,9 | 37,9 | 44,3 | 41,0 | 48,7 | 45,1 | 55,1 | 51,0 |
| 240 | 4 | 22,1 | 15,3 | 26,8 | 18,6 | 29,7 | 20,6 | 33,4 | 23,2 | 38,9 | 27,0 | 44,5 | 30,9 | 48,2 | 33,5 | 53,0 | 36,8 | 59,9 | 41,6 |
| 360 | 6 | 24,9 | 11,5 | 30,2 | 14,0 | 33,4 | 15,5 | 37,7 | 17,5 | 43,8 | 20,3 | 50,2 | 23,2 | 54,3 | 25,1 | 59,7 | 27,6 | 67,5 | 31,3 |
| 540 | 9 | 28,1 | 8,7 | 34,0 | 10,5 | 37,6 | 11,6 | 42,4 | 13,1 | 49,4 | 15,2 | 56,5 | 17,4 | 61,2 | 18,9 | 67,3 | 20,8 | 76,1 | 23,5 |
| 720 | 12 | 30,5 | 7,1 | 37,0 | 8,6 | 40,9 | 9,5 | 46,2 | 10,7 | 53,7 | 12,4 | 61,5 | 14,2 | 66,5 | 15,4 | 73,2 | 16,9 | 82,8 | 19,2 |
| 1080 | 18 | 34,4 | 5,3 | 41,6 | 6,4 | 46,1 | 7,1 | 52,0 | 8,0 | 60,5 | 9,3 | 69,2 | 10,7 | 74,9 | 11,6 | 82,4 | 12,7 | 93,2 | 14,4 |
| 1440 | 24 | 37,4 | 4,3 | 45,3 | 5,2 | 50,2 | 5,8 | 56,6 | 6,6 | 65,8 | 7,6 | 75,3 | 8,7 | 81,5 | 9,4 | 89,7 | 10,4 | 101,4 | 11,7 |
| 2880 | 48 | 45,9 | 2,7 | 55,5 | 3,2 | 61,5 | 3,6 | 69,3 | 4,0 | 80,6 | 4,7 | 92,3 | 5,3 | 99,9 | 5,8 | 109,9 | 6,4 | 124,2 | 7,2 |
| 4320 | 72 | 51,6 | 2,0 | 62,5 | 2,4 | 69,2 | 2,7 | 78,1 | 3,0 | 90,8 | 3,5 | 103,9 | 4,0 | 112,5 | 4,3 | 123,8 | 4,8 | 139,9 | 5,4 |
| 5760 | 96 | 56,2 | 1,6 | 68,0 | 2,0 | 75,3 | 2,2 | 84,9 | 2,5 | 98,8 | 2,9 | 113,0 | 3,3 | 122,4 | 3,5 | 134,6 | 3,9 | 152,2 | 4,4 |
| 7200 | 120 | 60,0 | 1,4 | 72,6 | 1,7 | 80,4 | 1,9 | 90,7 | 2,1 | 105,4 | 2,4 | 120,7 | 2,8 | 130,7 | 3,0 | 143,7 | 3,3 | 162,5 | 3,8 |
| 8640 | 144 | 63,3 | 1,2 | 76,6 | 1,5 | 84,8 | 1,6 | 95,6 | 1,8 | 111,2 | 2,1 | 127,3 | 2,5 | 137,8 | 2,7 | 151,6 | 2,9 | 171,4 | 3,3 |
| 10080 | 168 | 66,2 | 1,1 | 80,1 | 1,3 | 88,7 | 1,5 | 100,1 | 1,7 | 116,4 | 1,9 | 133,2 | 2,2 | 144,2 | 2,4 | 158,6 | 2,6 | 179,3 | 3,0 |

Starkniederschlagshöhen und -spenden gemäß KOSTRA-DWD-2020

Rasterfeld 131105

(Zeile 131, Spalte 105)

Örtliche Unsicherheiten in Abhängigkeit von Wiederkehrzeit T und Dauerstufe D

| Dauerstufe D | | Wiederkehrzeit T | | | | | | | | |
|--------------|-----|------------------|-----|-----|-----|------|------|------|------|-------|
| | | 1 a | 2 a | 3 a | 5 a | 10 a | 20 a | 30 a | 50 a | 100 a |
| min | Std | ± % | ± % | ± % | ± % | ± % | ± % | ± % | ± % | ± % |
| 5 | | 15 | 16 | 17 | 18 | 19 | 19 | 20 | 20 | 21 |
| 10 | | 17 | 19 | 20 | 21 | 22 | 23 | 23 | 24 | 24 |
| 15 | | 18 | 20 | 21 | 22 | 23 | 24 | 24 | 25 | 25 |
| 20 | | 18 | 20 | 21 | 22 | 23 | 24 | 25 | 25 | 26 |
| 30 | | 18 | 20 | 21 | 22 | 23 | 24 | 25 | 25 | 26 |
| 45 | | 17 | 19 | 20 | 21 | 22 | 23 | 24 | 24 | 25 |
| 60 | 1 | 17 | 19 | 20 | 21 | 22 | 23 | 23 | 24 | 24 |
| 90 | 1,5 | 15 | 17 | 18 | 19 | 20 | 21 | 22 | 22 | 23 |
| 120 | 2 | 14 | 16 | 17 | 18 | 19 | 20 | 21 | 21 | 22 |
| 180 | 3 | 13 | 15 | 16 | 17 | 18 | 19 | 19 | 20 | 20 |
| 240 | 4 | 12 | 13 | 14 | 15 | 17 | 17 | 18 | 18 | 19 |
| 360 | 6 | 10 | 12 | 13 | 14 | 15 | 16 | 16 | 17 | 17 |
| 540 | 9 | 9 | 11 | 11 | 12 | 13 | 14 | 15 | 15 | 16 |
| 720 | 12 | 8 | 10 | 10 | 11 | 12 | 13 | 14 | 14 | 15 |
| 1080 | 18 | 7 | 8 | 9 | 10 | 11 | 12 | 12 | 13 | 13 |
| 1440 | 24 | 7 | 8 | 9 | 9 | 10 | 11 | 11 | 12 | 12 |
| 2880 | 48 | 7 | 8 | 8 | 8 | 9 | 9 | 10 | 10 | 11 |
| 4320 | 72 | 9 | 8 | 8 | 8 | 9 | 9 | 9 | 10 | 10 |
| 5760 | 96 | 10 | 9 | 9 | 9 | 9 | 9 | 9 | 9 | 10 |
| 7200 | 120 | 11 | 9 | 9 | 9 | 9 | 9 | 9 | 9 | 10 |
| 8640 | 144 | 11 | 10 | 10 | 10 | 9 | 9 | 10 | 10 | 10 |
| 10080 | 168 | 12 | 11 | 10 | 10 | 10 | 10 | 10 | 10 | 10 |

Parameter für abweichende T und D

Lokationsparameter ξ (Xi)

14,77080439

Skalenparameter α (Alpha)

4,31733419

Formparameter κ (Kappa)

-0,1

1. Koutsoyiannis-Parameter θ (Theta)

0,00754615

2. Koutsoyiannis-Parameter η (Eta)

0,70715342

Parameter für dauerstufenübergreifende Extremwertschätzung nach KOUTSOYIANNIS et al. 1998.

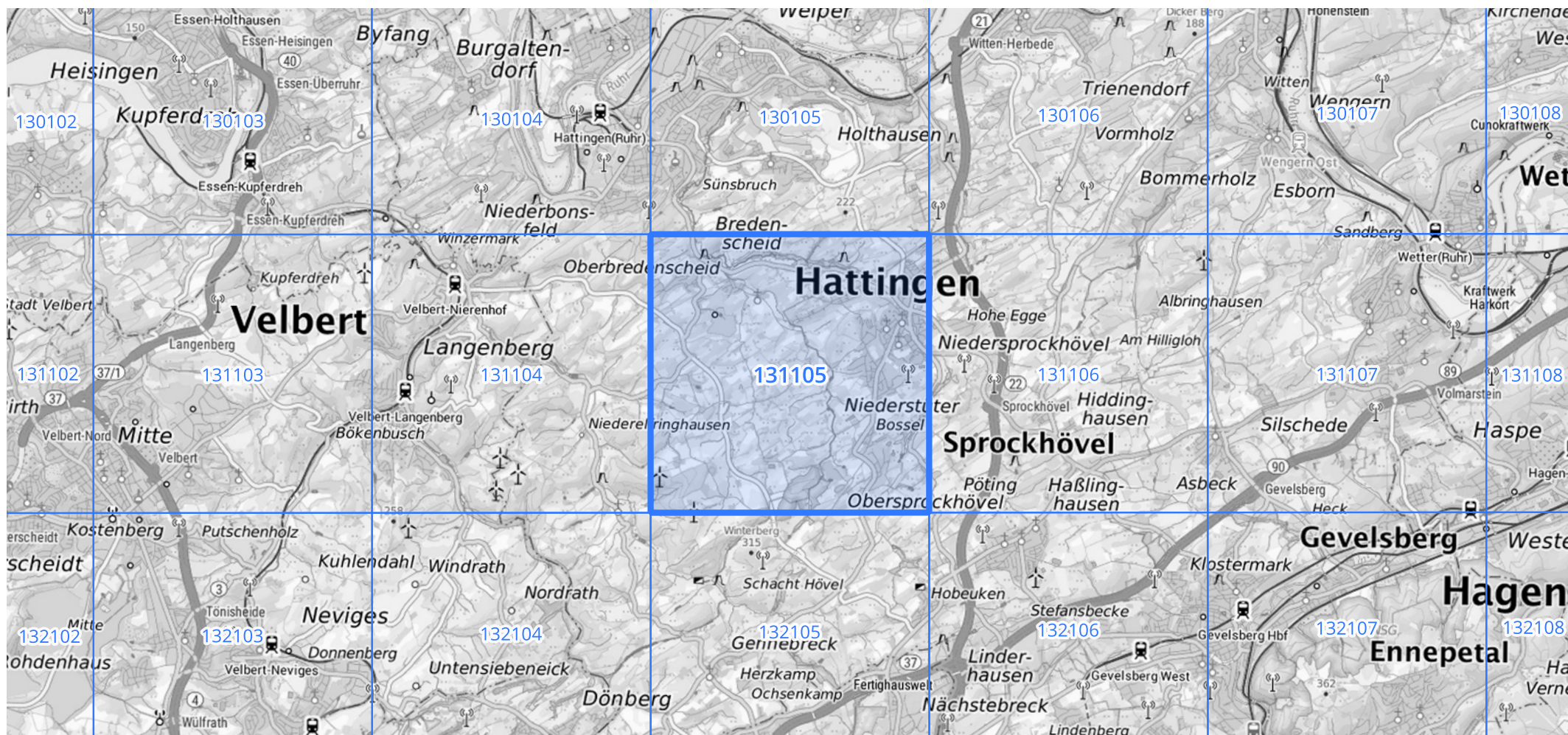
Siehe auch Anwendungshilfe zu KOSTRA-DWD-2020 des Deutschen Wetterdienstes.

Starkniederschlagshöhen und -spenden gemäß KOSTRA-DWD-2020

Rasterfeld 131105

(Zeile 131, Spalte 105)

Übersichtskarte des Rasterfeldes 131105, M 1 : 100 000



Quelle Rasterdaten: KOSTRA-DWD-2020 des Deutschen Wetterdienstes, Stand 12/2022.

Seite 3 von 3

Kartendarstellung: © Bundesamt für Kartographie und Geodäsie (2023), Datenquellen: https://sgx.geodatenzentrum.de/web_public/gdz/datenquellen/Datenquellen_TopPlusOpen.html

Für die Richtigkeit und Aktualität der Angaben wird keine Gewähr übernommen. Erstellt 01/2023.